

ДОДАТОК П

Основні газодинамічні параметри повітря в ГК за умови аварійного покидання
серійного РПЛ у повітрі

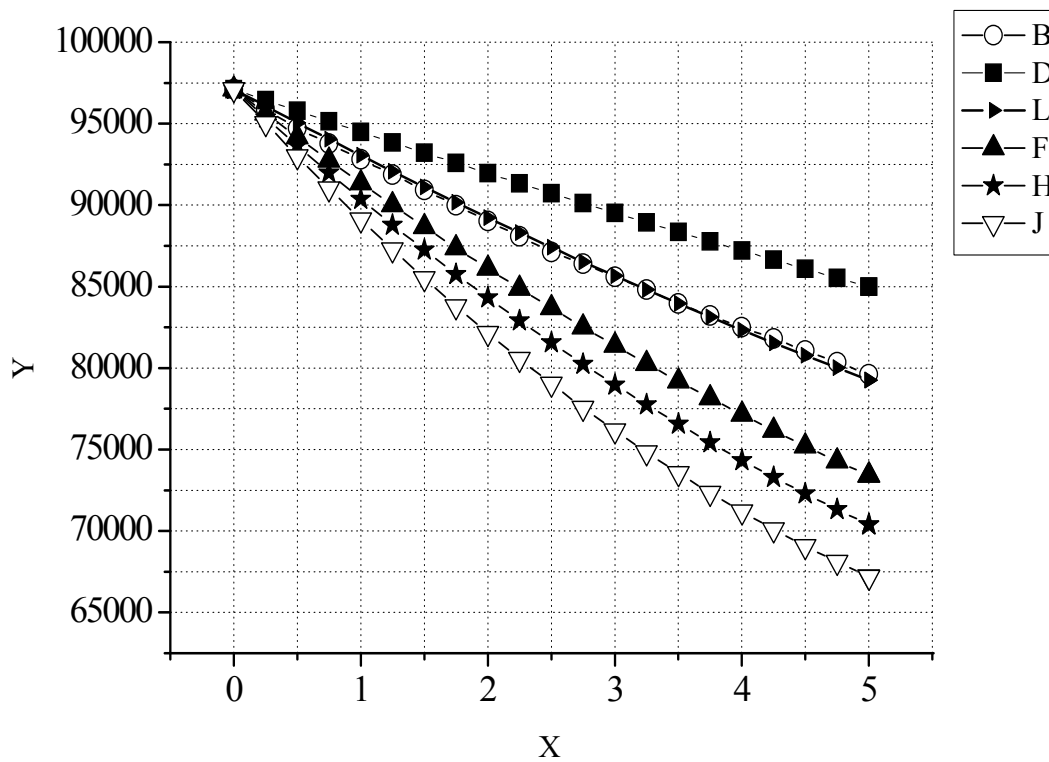


Рисунок П.1. Залежність тиску в ГК (Y , Па) від часу (X , с) за умови аварійної розгерметизації РПЛ (відкриття аварійного клапана на $H = 4087$ м) для різних варіантів експерименту і розрахунку в залежності від значень показника політропи (n): В – експеримент; D – $n=0,2$; L – $n=0,4875$; F – $n=1$; H – $n=1,4$; J – $n=2$

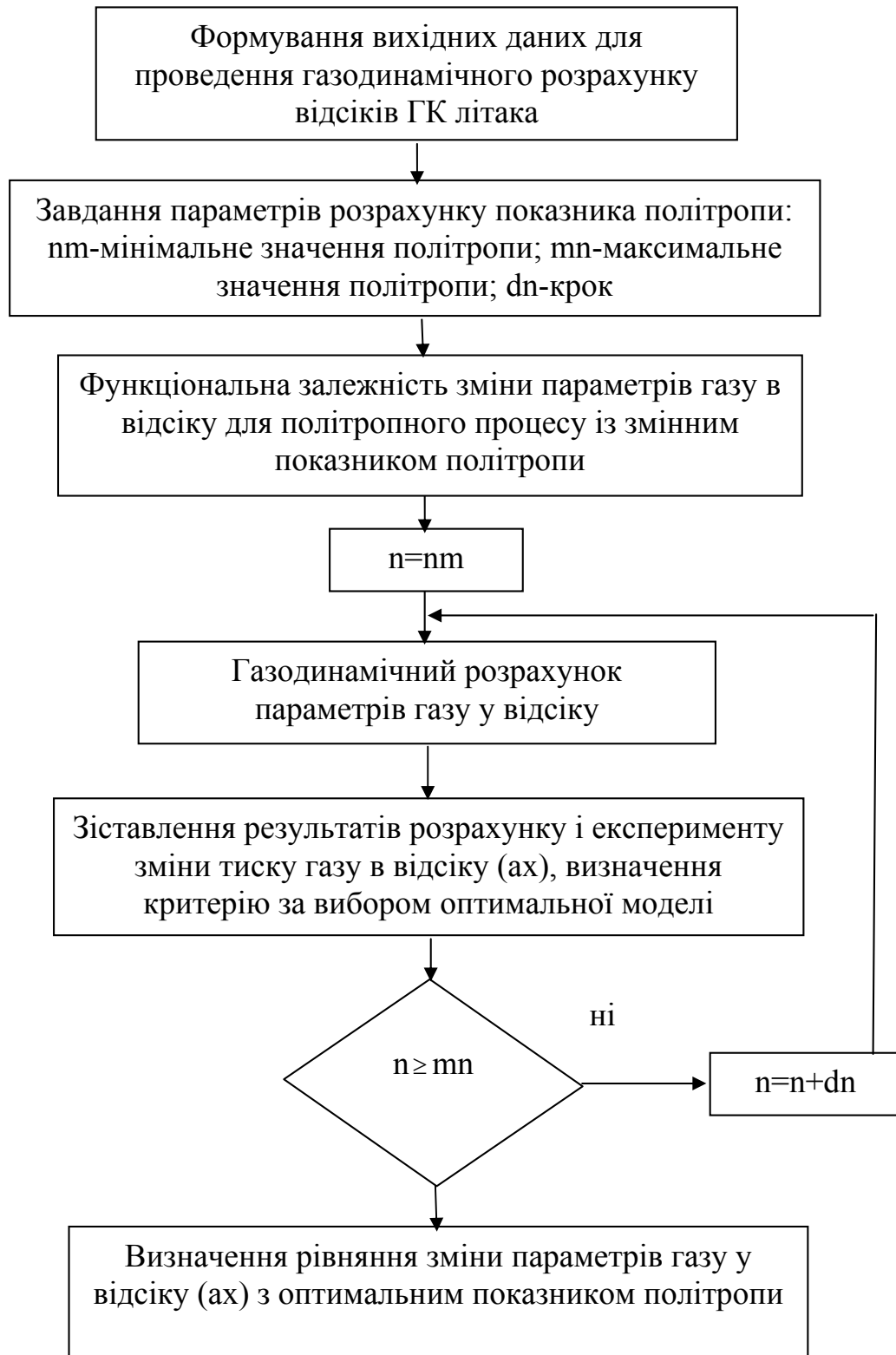


Рисунок П.2. Алгоритм визначення функціональної залежності газодинамічних параметрів в ГК з оптимальним показником політропи

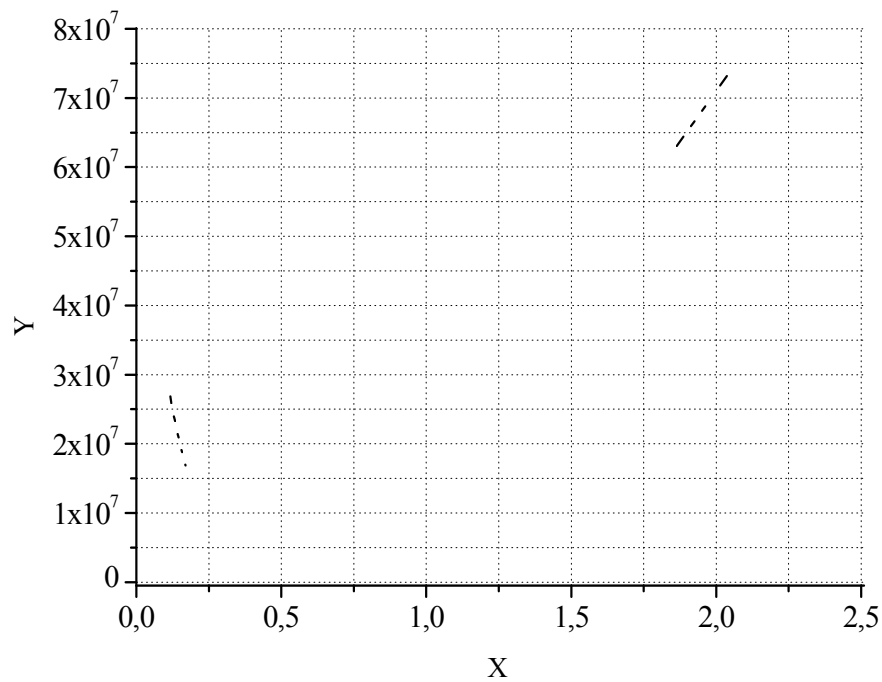


Рисунок П.3. Залежність дисперсії розрахункового тиску повітря в ГК (Y , Па^2) від показника політропи (X) за умови відкриття клапана аварійного зменшення тиску газу на висоті $H = 4087$ м

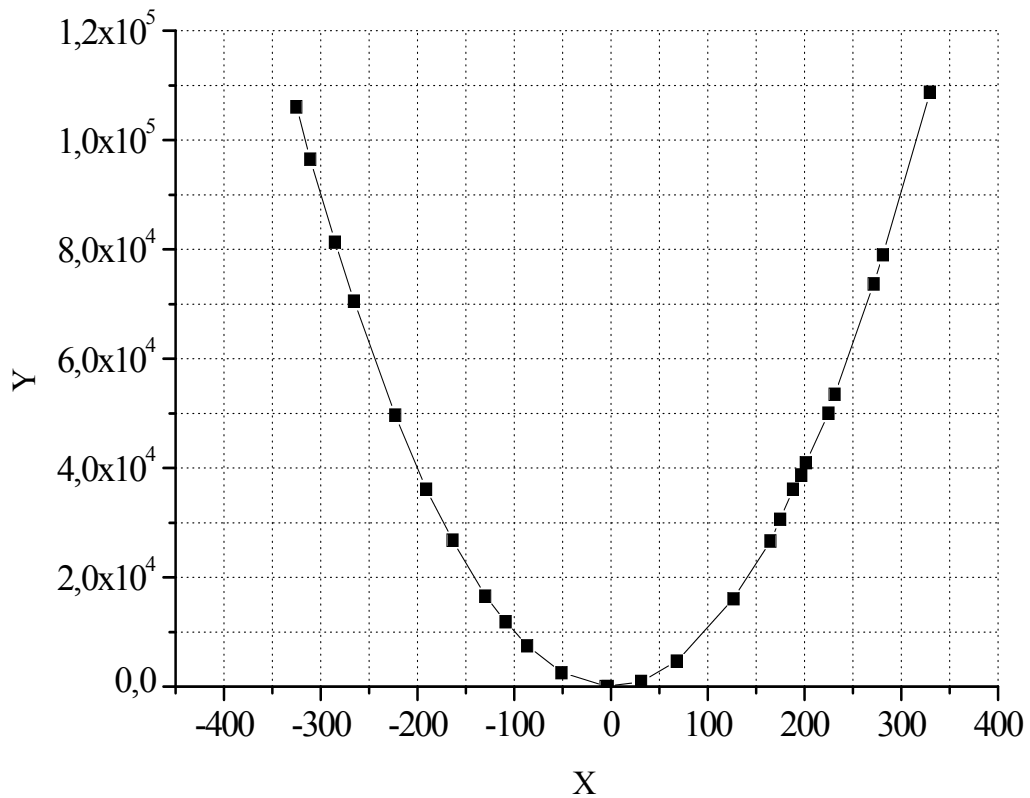


Рисунок П.4. Залежність дисперсії (Y , Па^2) від різниці між розрахунковими і експериментальними значеннями тиску повітря в ГК (X , Па) з оптимальним показником політропи $n \approx 0,487$

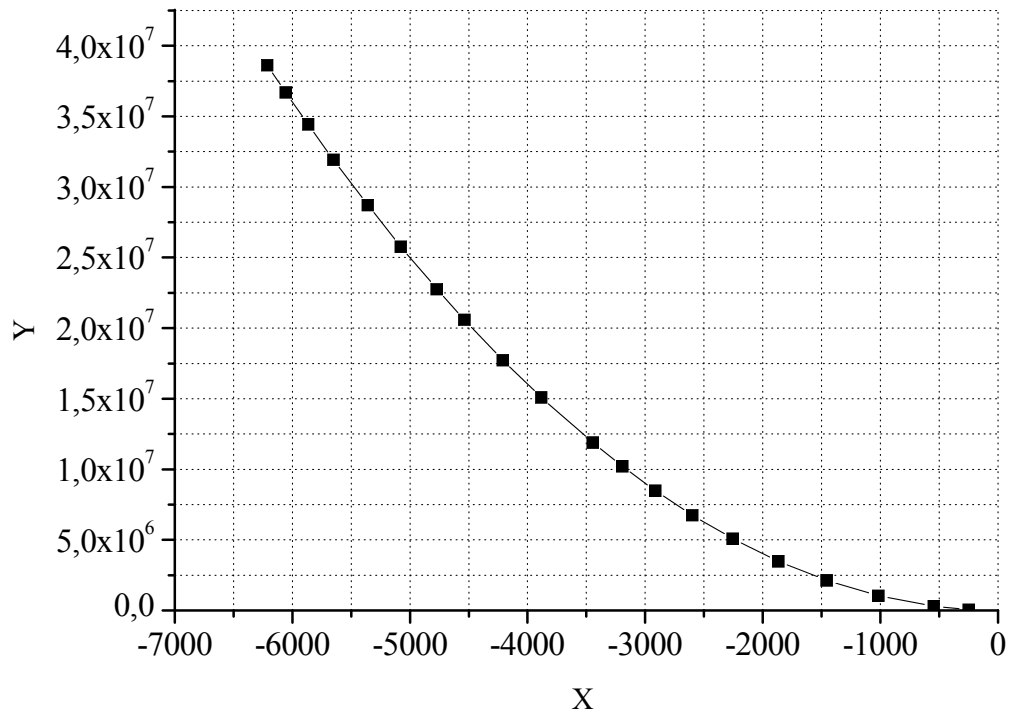


Рисунок П.5. Залежність дисперсії (Y, Pa^2) від різниці між розрахунковими і експериментальними значеннями тиску повітря в ГК (X, Pa) з показником політропи $n=1$

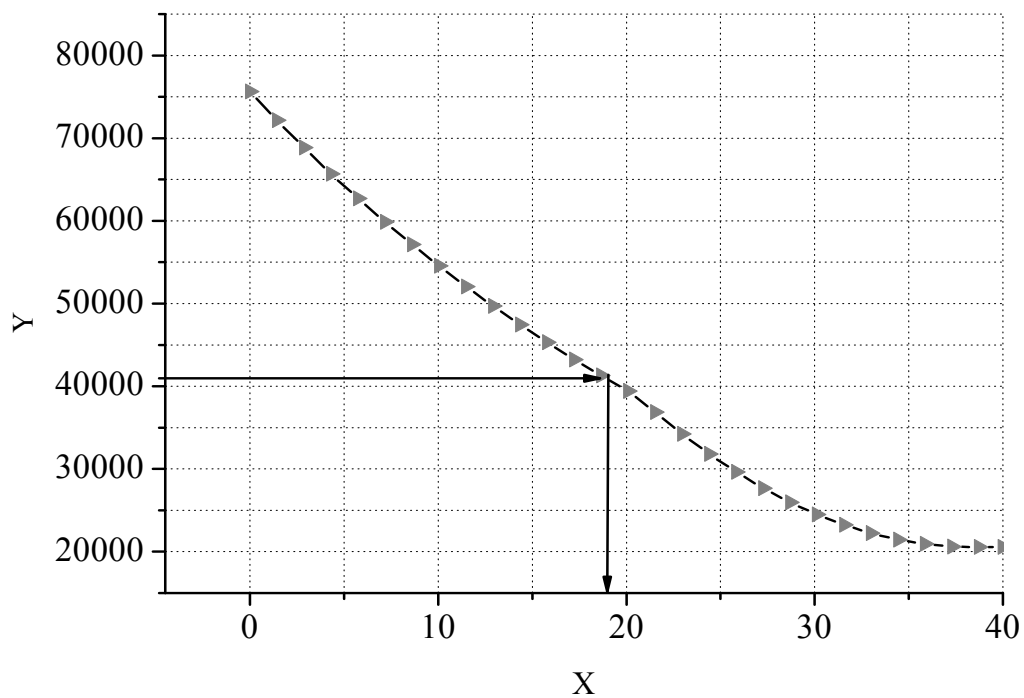


Рисунок П.6. Залежність тиску газу в ГК (Y, Pa) від часу (X, s) при аварійній розгерметизації РПЛ на висоті $H=11600$ м

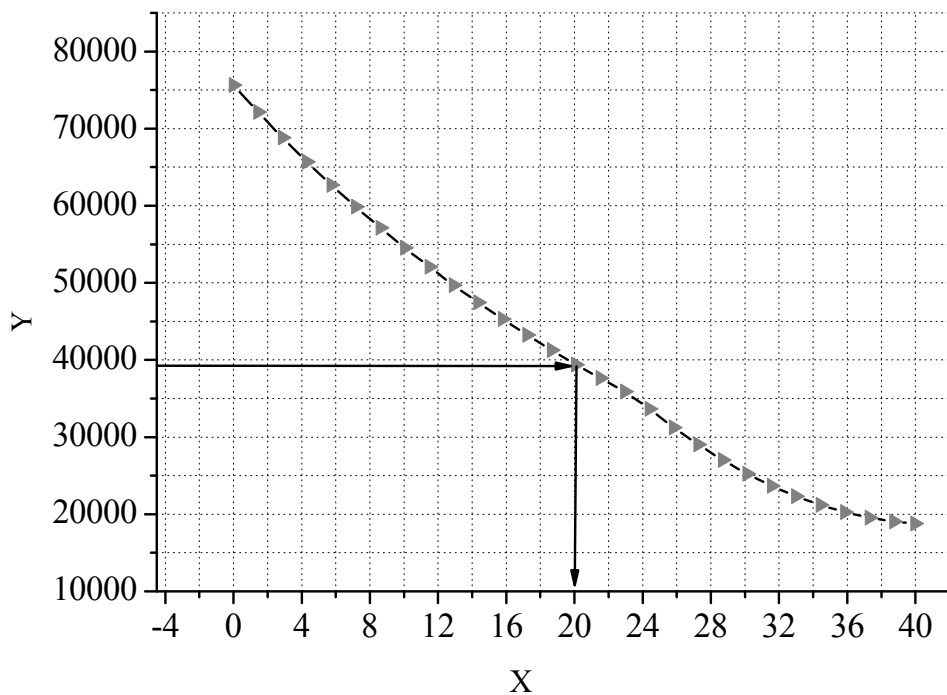


Рисунок П.7. Залежність тиску газу в ГК (Y , Па) від часу (X , с) за умови аварійної розгерметизації на висоті $H=12200$ м

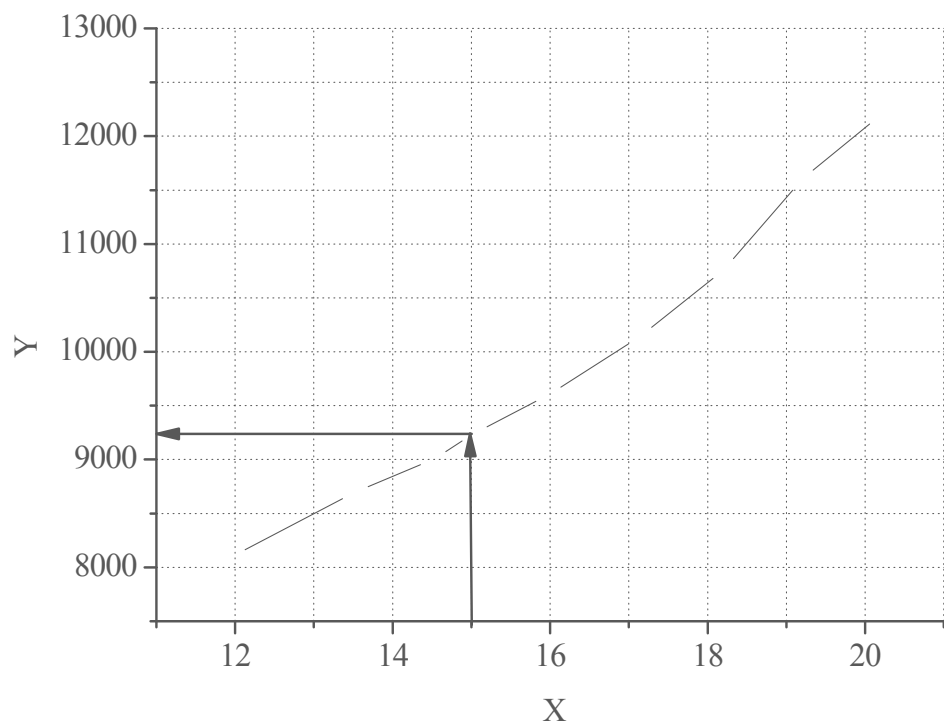


Рисунок П.8. Залежність часу аварійної розгерметизації ГК (X , с) від висоти (Y , м) за умови відкриття клапана аварійного зниження тиску

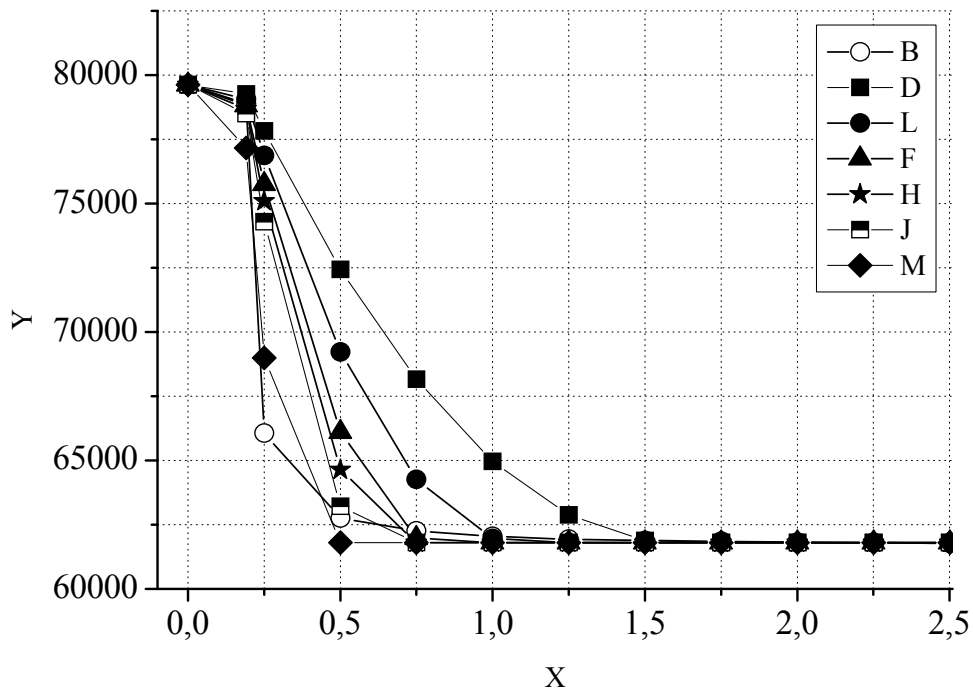


Рисунок П.9. Залежність тиску повітря в ГК (Y , Па) від часу (X , с) за умови скидання кришки (двері) в ГК на висоті $H = 4087$ м для різних варіантів експерименту і розрахунку (значень показника політропи): В – експеримент; D – $n=0,2$; L – $n=0,4875$; F – $n=1$; H – $n=1,4$; J – $n=2$; M – $n=10$

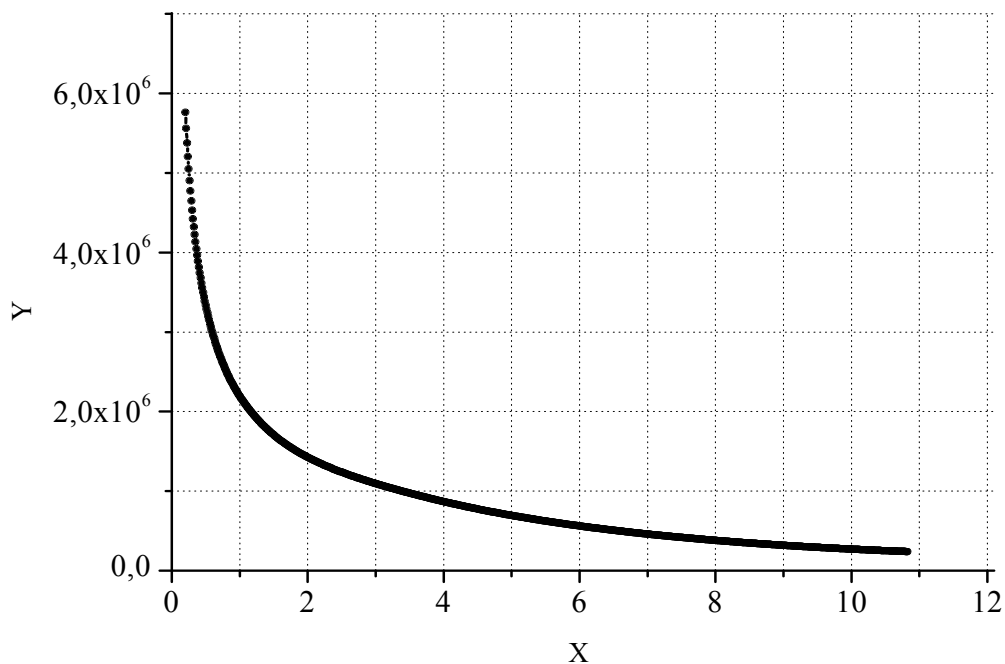


Рисунок П.10. Залежність дисперсії тиску повітря в ГК (Y , Па²) від показника політропи (X) за умови скидання кришки (двері) на висоті $H = 4087$ м

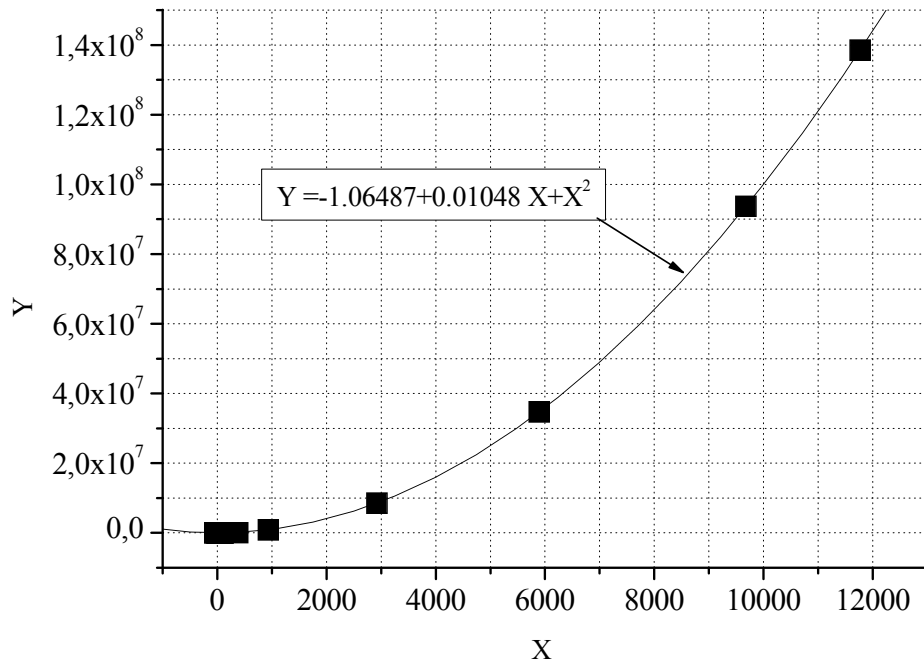


Рисунок П.11. Залежність дисперсії (Y , Па^2) від різниці між розрахунковими і експериментальними значеннями тиску повітря в ГК (X , Па) з показником політропи $n \approx 0,2$

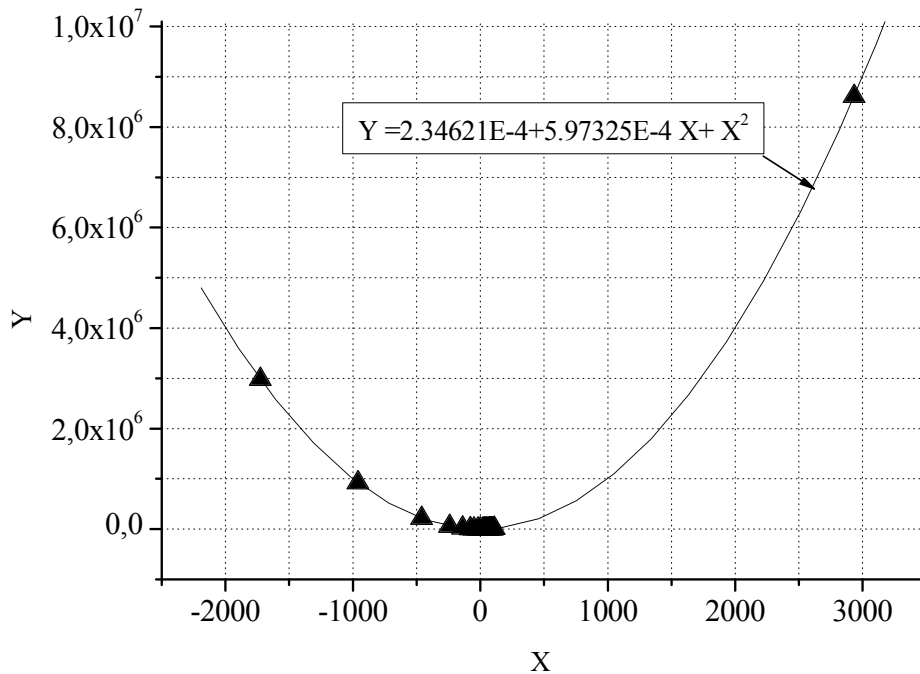


Рисунок П.12. Залежність дисперсії (Y , Па^2) від різниці між розрахунковими і експериментальними значеннями тиску повітря в ГК (X , Па) з показником політропи $n \approx 10$

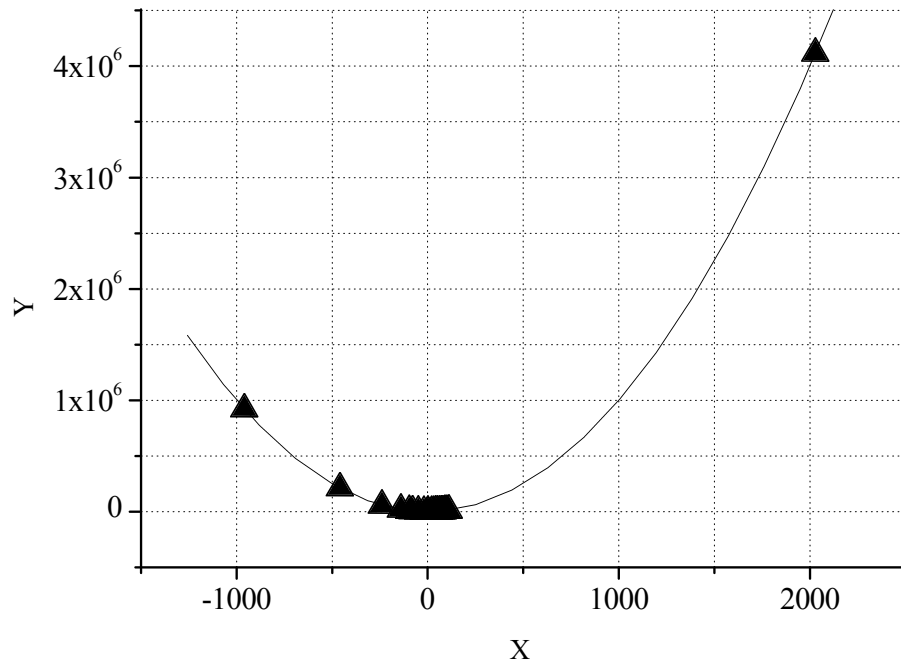


Рисунок П.13. Залежність дисперсії (Y , Па^2) від різниці між розрахунковими і експериментальними значеннями тиску повітря в ГК (X , Па) для рівняння з показниками політропи $n = 0,837$ (початкове відкриття дверей) і $n = 15$ (відділення дверей від фюзеляжу)

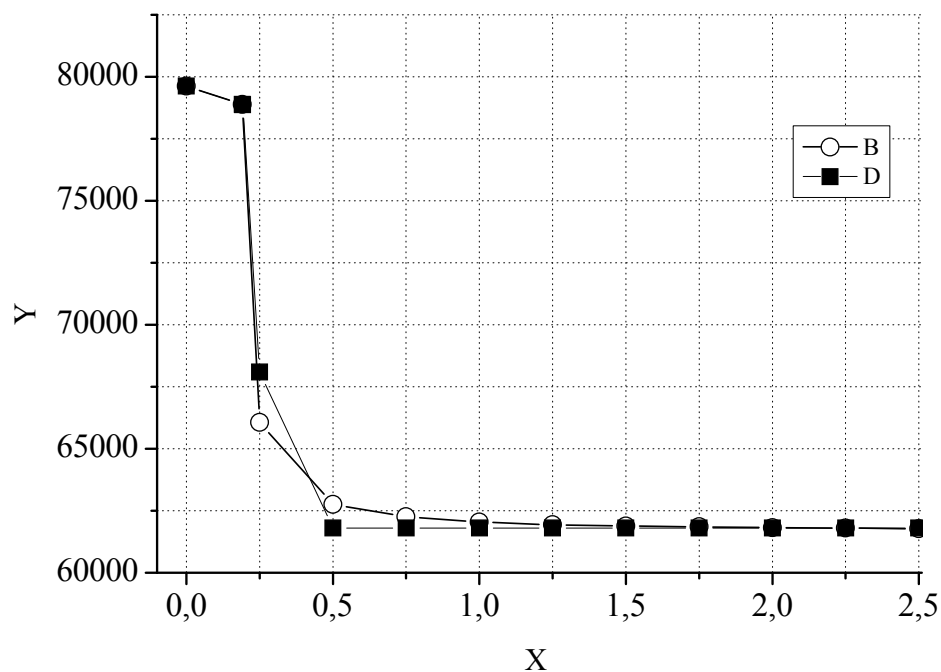


Рисунок П.14. Залежність тиску газу в відсіку (Y , Па) від часу (X , с) за умови скидання кришки (двері) в ГК Ан-148-100 на висоті $H = 4087$ м для різних варіантів експерименту і розрахунку: В – експеримент; D – розрахунок відповідно до рівняння з показниками політропи $n = 0,837$ (початкове відкриття дверей) і $n = 15$ (відділення дверей від фюзеляжу)